



## بررسی و مقایسه شاخص‌های مختلف گیاهی با استفاده از تصاویر ماهواره‌ای ETM<sup>+</sup> برای مطالعات پوشش گیاهی دشت نیشابور، خراسان رضوی

مرجان قائمی<sup>۱\*</sup> - سید حسین ثابی نژاد<sup>۲</sup> - علیرضا آستارایی<sup>۳</sup> - پریسا میرحسینی<sup>۴</sup>

تاریخ دریافت: ۸۸/۲/۱۴

تاریخ پذیرش: ۸۸/۳/۳

### چکیده

یکی از مهمترین عوامل در مدیریت بهتر خاک، شناخت وضعیت پوشش گیاهی به ویژه در مناطق خشک و نیمه خشک با استفاده از روش‌های سنتی و عملیات میدانی دشوار و محدود می‌باشد. استفاده از داده‌های سنجش از دور در بررسی خصوصیات طیفی پوشش گیاهی این مناطق می‌تواند به صرف هزینه و زمان کمتر و دستیابی به اطلاعات دقیق تر منجر گردد. در این راستا تحلیل‌های مختلفی با هدف معرفی بهترین شاخص ترکیبی و شناسایی مناسبترین مولفه اصلی و باندهای حاصل از تبدیل تسلیک و نیز بررسی نقش و تأثیر فیلتر‌های مختلفی بر روی تصاویر ماهواره‌ای ETM<sup>+</sup> منطقه نیشابور اعمال شد. سپس روابط رگرسیونی و ضرایب تبیین متغیرهای مختلف مورد تجزیه و تحلیل قرار گرفتند و در انتهای توانایی کارترین شاخص‌ها و آنالیزها با کلاس‌های حاصل از روش‌های طبقه‌بندی مورد بحث و مقایسه قرار گرفتند. نتایج حاصل نشان داد که فیلتر میانگین<sup>۳×۳</sup> به دلیل ایجاد همگنی بیشتر، ضرایب تبیین بالاتری بین ارزش‌های رقومی تصویر و داده‌های زمینی نشان می‌دهد که همگی این ضرایب در سطح ۵٪ معنی دار بودند. همچنین شاخص‌های MND، SAVI، TVI، NDSI، SI، BI1، RI، VI6، VI5، MSR، Complex Multirato، MSAVI، COSRI، و نیز مولفه‌های اول و سوم حاصل از تجزیه‌ی مولفه‌های اصلی و باندهای روش‌نایی و سبزینگی حاصل از تبدیل تسلیک امکان تشخیص و تفکیک پوشش گیاهی منطقه را بیش از سایر شاخص‌ها فراهم می‌نمایند.

**واژه‌های کلیدی:** شاخص‌های پوشش گیاهی، تجزیه و تحلیل مولفه‌های اصلی، تبدیل تسلیک، طبقه‌بندی تصاویر ماهواره‌ای، لندست

### راستای توسعه پایدار افزوده می‌شود (۲۵).

### مقدمه

در طول سه دهه گذشته کاربرد نسبت‌های مختلف طیفی باندهای انعکاسی در مطالعه‌ی منابع طبیعی به ویژه پایش پوشش گیاهی در مقیاس منطقه‌ای و جهانی به طور گسترده‌ای افزایش یافته است. این شاخص‌ها با تراکم پوشش گیاهی همبستگی خوبی را نشان می‌دهند. اما بازتاب طیفی تحت تأثیر عوامل ارتقاع و زاویه‌ی تابش خورشید، خاک زمینه و تأثیرات جوی تغییر می‌کند (۲). شدت بازتابش بسته به نوع گیاه، تراکم و سالم بودن گیاهان متفاوت است. مشکل اساسی در بررسی پوشش گیاهی مناطق خشک و نیمه خشک ناچیز بودن پوشش گیاهی است. در صورتی که پوشش کمتر از ۲۶ درصد باشد تأثیر کمتری بر بازتاب‌های حاصله و در نهایت داده‌های تصاویر ماهواره‌ای می‌گذارد (۳). هنگامیکه پوشش سبز در حدود ۱۰ درصد باشد در ناحیه مادون قرمز جذب ضعیف در اثر خاک زمینه و موادمعدنی موجود در آن می‌تواند سبب تیرگی تصویر گردد. به علاوه هنگامی که پوشش گیاهی بیش از ۶۰ درصد باشد تشخیص

پوشش گیاهی در اکثر مناطق خشک و نیمه خشک همچون ایران به شدت تحت تأثیر خصوصیات خاک از جمله شوری است. از طرفی گیاهان به دلیل خصوصیات منحصر به فرد خود در تامین غذای موجودات زنده از اهمیت خاصی برخوردارند. بنابراین، مطالعه‌ی پراکنش گیاهان در اقلیم‌های خشک و نیمه خشک و خاک‌های شور و غیر شور در این مناطق در همین راستا ضروری تلقی می‌گردد (۹). استفاده از فن آوری سنجش از دور اغلب موجب کاهش هزینه و افزایش دقت و سرعت شده و روز به روز بر اهمیت این فناوری در

۱ و ۴- دانشجوی کارشناسی ارشد خاک‌شناسی، دانشکده کشاورزی، دانشگاه فردوسی مشهد

(\*)- نویسنده مسئول: (Email: Mghaemi270@gmail.com)

۲- استادیار گروه علوم خاک، دانشکده کشاورزی، دانشگاه فردوسی مشهد

۳- دانشیار، گروه مهندسی آب، دانشکده کشاورزی، دانشگاه فردوسی مشهد

ترین همبستگی را بین داده های حاصل از تصاویر ماهواره ای در خاک های تحت تأثیر شوری نشان دارند. براین اساس دو شاخص NDVI<sup>۷</sup> و RATIO<sup>۸</sup> برای تراکم پوشش گیاهی مورد استفاده قرار گرفت. این شاخص ها نشان دادند در مناطقی که درصد نمک بالا است پوشش گیاهی ضعیفی در منطقه وجود دارد (۱۶). با استفاده همزمان از چند شاخص در مناطق خشک به دلیل شرایط خاص این مناطق و نوع پوشش گیاهی آن ها می توان به نتیجه گیری بهتری در تشخیص میزان پوشش گیاهی این مناطق دست یافت. از این رو تشخیص بهترین شاخص ها به منظور بیان خصوصیات پوشش گیاهی ووضوح پدیده های موجود در منطقه با استفاده از روش های آماری، از قبیل تعیین ضریب تبیین امکان پذیر است. بر این اساس در این تحقیق سعی شده است تغییرپذیری طیفی پوشش گیاهی و همچنین تفکیک پدیده های منطقه بر روی تصویر با استفاده از شاخص های مختلف و تصاویر حاصل از تجزیه و تحلیل مولفه های اصلی و تبدیل تسلیک پذیری و با تصاویر حاصله از باندهای اصلی سنجنده ETM<sup>۹</sup> مقایسه گردد. براساس این تحلیل ها علاوه بر انتخاب مناسبترین شاخص ها برای بررسی و طبقه بندی پوشش گیاهی در این منطقه کارائی چنین روش هایی نیز مورد آزمون قرار می گیرد.

## مواد و روش ها

### منطقه مورد مطالعه

محدوده مورد مطالعه در بخشی از دشت نیشابور و در بین طول جغرافیایی ۵۸ درجه و ۳۴ دقیقه تا ۵۹ درجه و ۸ دقیقه شرقی (UTM ۶۴۰۸۱۱ تا ۶۹۳۴۵۱) و عرض جغرافیایی ۳۵ درجه و ۵۱ دقیقه تا ۳۶ درجه و ۱۵ دقیقه شمالی (UTM ۳۹۷۱۱۵۸۱ تا ۴۰۱۳۰۴۶) واقع شده است (شکل ۱).

این منطقه براساس طبقه بندی اقلیمی آمیزه دارای اقلیم خشک و نیمه خشک بوده و متوسط درجه حرارت سالانه آن به حدود ۱۴/۵ درجه سانتی گراد می رسد. میانگین بارش سالانه در این منطقه حدود ۲۵ میلی متر می باشد.

### روش نمونه برداری

پس از بررسی تصاویر ماهواره ای و نقشه ای جغرافیائی منطقه، با توجه به وضعیت تغییرات خصوصیات خاک و پوشش گیاهی آن، شبکه ای به ابعاد  $1497 \times 1881$  پیکسل بر روی تصاویر ماهواره ای جدا گردید.

طیف های خاک امکان پذیر نخواهد بود (۱۵). همچنین این گیاهان فاقد بافت اسفنجی و حفره های مایین آنها بوده و اغلب پهنه برگ نیستند بنابراین دارای بازتاب کمتری از مادون قرمز می باشند و نیز بازتاب طیف مرئی آن ها هم متفاوت با گیاهان سبز است (۳).

در منطقه ای واقع در بخش نیمه خشک دیورو بیسین<sup>۱</sup> در اسپانیا بر روی خاک های متفاوت با کاربری های متعدد مطالعه ای به منظور بررسی همبستگی میان اندازه گیری های مستقیم پارامترهای پوشش محصولات خشک با تخمین های غیر مستقیم حاصله از تصاویر ماهواره ای ASTER انجام گرفت. در این بررسی به تخمین پارامتر های بیوفیزیکی از قبیل زیست توده گیاهی، محتوای آب و ارتفاع گیاه پرداختند. در این مطالعه شاخص های RVI<sup>۲</sup> و NDVI<sup>۳</sup> بالاترین ضریب همبستگی معادل ۰/۷ را با پارامتر های مورد مطالعه نشان دادند. این میزان همبستگی بیانگر این بود که پیش بینی مقادیر زمینی از طریق شاخص های به دست آمده از تصاویر امکان پذیر است (۲۳).

شاخص های گیاهی می توانند توسط تعدادی از باندهای طیفی مناسب براساس مجموعه ای از روابط ریاضی بین باندها شامل انواع محاسبات جبری محاسبه گردند (۷). در میان شاخص های متعدد پوشش گیاهی شاخص های NDVI<sup>۴</sup> و EVI<sup>۵</sup> برای پایش و مطالعه تغییرات مکانی و زمانی پوشش گیاهی در سطح گسترده ای به کار گرفته شده اند (۱۸ و ۲۱). شاخص NDVI به عنوان یکی از پرکاربردترین شاخص ها در مطالعات بیشماری برای ارزیابی پوشش گیاهی استفاده شده است. مبنای ساختاری این شاخص وجود کلروفیل در گیاهان مختلف است که نور قرمز را جذب و لایه مزوفیل برگ نور مادون قرمز نزدیک را منعکس می سازد. مقدار عددی این شاخص بر اساس تعریف آن بین اعداد ۰ تا ۱ تا ۱ - تغییر می کند. مقادیر منفی در این شاخص حاکی از عدم حضور پوشش گیاهی است (۴).

در مطالعه ای در پاکستان به منظور بررسی رابطه بین پارامترهای خاک و داده های ماهواره ای، شاخص های سنجش از دور از قبیل شاخص های تفاوت شوری، نسبت گیری، شاخص های پوشش، آنالیزهای PCA<sup>۶</sup> و شاخص آب مورد استفاده قرار گرفت. اساس کاربرد این شاخص ها تغییر پذیری خصوصیات طیفی براساس تغییرپذیری خصوصیات خاک بود. با استفاده از سیستم های اطلاعات جغرافیایی نشان دادند که شاخص های SI<sup>۷</sup>، NDSI<sup>۸</sup> و BI<sup>۹</sup> بیش

1- Duero Basine

2- Ratio Vegetation Index

3- Normalized Difference Vegetation Index

4- Enhanced Vegetation Index

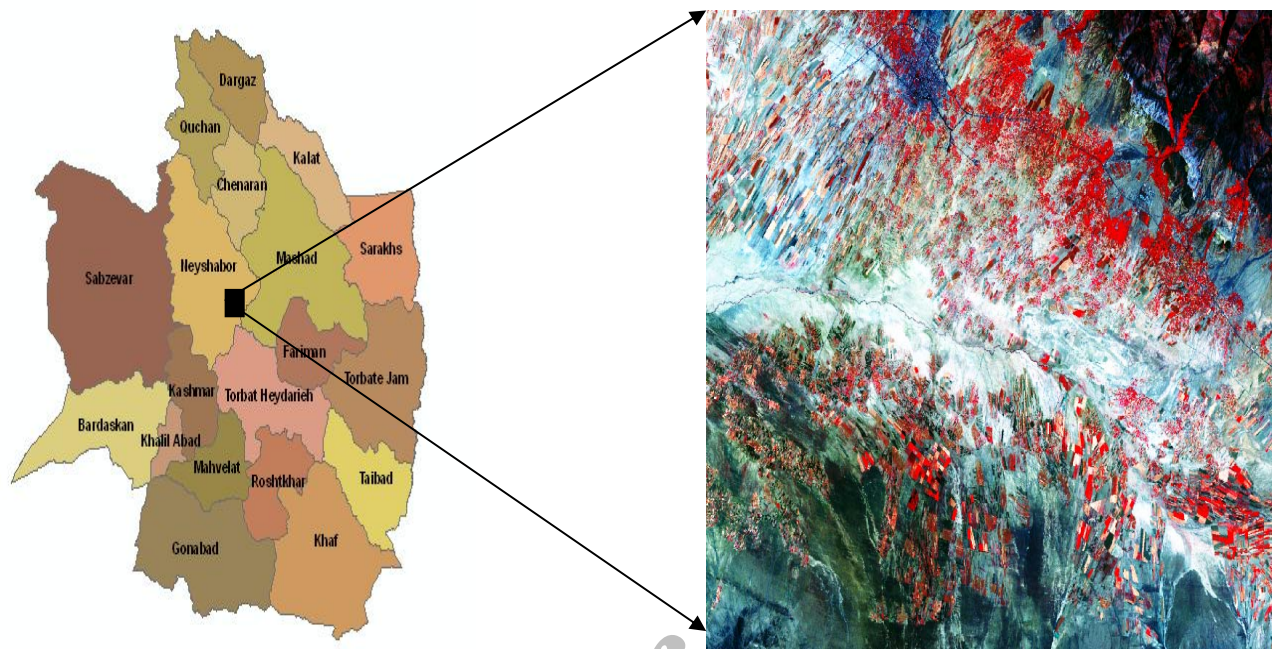
5- Principal Component Analysis

6- Salinity Index

7- Normalized Differential Salinity Index

8- Brightness Index

9- Vegetation Index



شکل ۱- موقعیت جغرافیایی محدوده مورد مطالعه

انجام این تصحیحات خطاهای جدید در تصاویر ایجاد گردد (۱). از این رو تصاویر مورد مطالعه قبل از اعمال هر نوع پردازش، مجدداً به لحاظ هندسی و رادیومتری در هر یک ار باندهای انعکاسی (۱-۵ و ۷) مورد بازبینی قرار گرفتند.

به منظور بررسی تغییرپذیری طیفی پوشش گیاهی به کمک داده های سنجنده  $ETM^+$  از چهار سری داده شامل سه مولفه اول حاصل از تجزیه و تحلیل مولفه های اصلی، نسبت های مختلف طیفی حاصل از باندهای انعکاسی، باندهای روشنایی، سبزینگی و  $ETM^+$  نمناکی حاصل از تبدیل تسلیک پ و باندهای اصلی سنجنده  $ETM^+$  استفاده شد. سپس تغییرات طیفی پوشش گیاهی در باندهای اصلی و مصنوعی مورد مقایسه قرار گرفتند. کلیه پردازش های لازم در محیط نرم افزار IDRISI Kilimanjaro ERDAS Imagine 8.6 انجام گرفت. در مرحله بعد به منظور تعیین بهترین ترکیب باندی برای استفاده در ایجاد تصاویر کاذب رنگی از طریق مشاهده تصویر و شاخص حد مطلوب پردازش های موردنظر اعمال گردید. برای مقایسه و افزایش وضوح تصاویر سه روش بهبود کنتراست، بررسی هیستوگرام و تفسیر بصری نیز بر روی تصاویر اعمال شد.

در این تحقیق قبل از اعمال شاخص های گیاهی مختلف بر روی تصویر، اقدام به طبقه بندی تصویر ماهواره ای گردید. در مرحله اول ابتدا با استفاده از تصاویر رنگی کاذب به ویژه ترکیب (۲، ۳ و ۴) در محیط نرم افزار ERDAS Imagine و بررسی هیستوگرام باند های

در چارچوب روش نمونه برداری سیستماتیک بک شبکه منظم از نقاط در مکان های تعیین شده به صورت خوشه های ۳ تابی توسعه شدند. در مجموع ۶۰ نمونه خاک در پلاتی به ابعاد  $20 \times 20$  سانتی متر از عمق ۰-۱۵ سانتی متری از روی نقاط با مختصات معلوم برداشت گردید. درصد تراکم پوشش گیاهی نیز در مکان هر نقطه با استفاده از یک کوادرات با ابعاد  $50 \times 50$  سانتی متر به صورت تصادفی و در سه تکرار تعیین گردید و نوع کاربری آن مشخص شد. سپس داده های حاصل از نمونه برداری با هم تلفیق و میانگین حاصل به عنوان تراکم گیاهی برای هر نقطه منظور گردید.

در این تحقیق تصاویر چند طیفی ماهواره لنست، سنجنده  $ETM^+$  شامل ۶ باند طیفی (با قدرت تفکیک مکانی ۳۰ متر) و یک باند حرارتی (با قدرت تفکیک مکانی ۶۰ متر) و باند پانکروماتیک (با قدرت تفکیک مکانی ۱۵ متر) از مسیر ۱۶۰ و ردیف ۳۵ مربوط به ۱۰ جولای سال ۲۰۰۲ برابر با ۲۰ تیر ۱۳۸۱ مورد استفاده قرار گرفت. علاوه بر آن از نقشه های ارزیابی منابع و قابلیت اراضی با مقیاس ۱:۲۵۰۰۰ به منظور شناسایی اولیه منطقه و تعیین محدوده مورد مطالعه نیز استفاده شد. این تصاویر در سطح سیستمی مورد تصحیحات اولیه هندسی و رادیومتری قرار گرفته اند، با این وجود در موارد متعددی مشاهده شده است که خطاهای و ناهنجاری های هندسی و رادیومتری موجود در تصاویر ماهواره ای به طور کامل در تصحیحات سیستمی برطرف نمی شوند و حتی ممکن است ضمن

نهایت تصاویر حاصله از بهترین شاخص ها و دیگر روش های تجزیه و تحلیل مورد مطالعه با تصویر طبقه بنده شده مورد مقایسه و بررسی قرار گرفتند.

## نتایج و بحث

برای تعیین چگونگی رابطه بین متغیرهای مورد مطالعه در این تحقیق از آنالیز رگرسیون خطی و غیر خطی استفاده شد. نتایج آنالیز رگرسیونی بین ارزش های رقومی باندهای اصلی تصاویر ماهواره ای به عنوان متغیر مستقل و درصد تراکم پوشش گیاهی به عنوان متغیر وابسته برای کل داده های محدوده مورد مطالعه نشان داد که باندهای ۱، ۲ و ۳ بیشترین ضرایب تبیین را با داده های زمینی دارند. در حالی که باند ۵ و ۷ با حداقل ضریب تبیین کمترین میزان همبستگی را دارا می باشد. با وجود آن که انعکاس زیاد پوشش گیاهی در نواحی قرمز و مادون قرمز نزدیک است، ولی پوشش گیاهی این منطقه همبستگی بالایی با باند ۴ نشان نداد. علت این امر می تواند به نوع پوشش گیاهی مناطق خشک و نیمه خشک مربوط باشد که عدم بافت اسفنجی و خفره های مابین آن ها و پهنه برگ نبودنشان چنین ایجاد می کند، زیرا که دارای بازتاب کمتری از مادون قرمز می باشند و نیز بازتاب طیف مرئی آن ها هم متفاوت با گیاهان سبز است (۳ و ۲۴). اعمال فیلتر میانگین بر روی باندهای اصلی، تأثیر چندانی بر میزان  $R^2$  به دست آمده نداشت (جدول ۲). براساس نتایج حاصله باند ۳ با  $R^2 = 0.47$  در تصاویر بدون اعمال فیلتر میانگین دارای ضریب تبیین معادل  $0.47$  بود که با اعمال فیلترهای میانگین  $3 \times 3$ ،  $5 \times 5$  و  $7 \times 7$  مقدار ضریب تبیین آن به ارزش های  $0.45$ ،  $0.44$  و  $0.48$  تغییر یافت. این نتیجه در مورد سایر باندهای نیز حاصل گردید. اما نتایج حاصل از تحلیل رابطه میان شاخص های مختلف در فیلتر های میانگین با نتایج باندهای اصلی کاملاً مغایر بودند، به طوری که با اعمال فیلتر میانگین بر روی تصاویر میزان ضریب تبیین به صورت معنی داری افزایش پیدا کرد (جدول ۳) در این رابطه می توان به شاخص SI که ترکیبی از باندهای یک و سه است، اشاره نمود. این شاخص در حالت بدون اعمال فیلتر میانگین دارای ضریب تبیین معادل  $0.40$  است درحالی که با اعمال فیلتر های میانگین ضریب تبیین آن به مقدار عددی  $0.44$  افزایش می یابد. رابطه بین ارزش رقومی هر یک از شاخص ها با داده های زمینی در حالت عدم اعمال فیلتر نشان داد با افزایش درجه معادله میزان  $R^2$  افزایش می یابد و شاخص ها به طور کلی دارای ضریب تبیین پایینی می باشند با این حال شاخص<sup>۲</sup> Complex Division<sup>۳</sup> و RA<sup>۴</sup> با  $R^2 = 0.1$  و PD311<sup>۵</sup> و PD312<sup>۶</sup> با  $R^2 = 0.07$  از بالاترین ضریب برخوردار بودند.

4- Reflectance Absorption Index

5- Vegetation Index

طیفی و همچنین بر اساس تفاوت خصوصیاتی نظیر رنگ، تن، بافت، شکل و اندازه کلاس های مورد نظر در تصویر مشخص و تعریف شدند. سپس با شناخت کلی تصویر و با استفاده از الگوریتم های مختلف پردازش تصویر هر یک از کلاس ها در مراحل جداگانه و با استفاده از روش طبقه بنده نظارت شده و نظارت نشده از یکدیگر تفکیک گردیدند (۲۲).

در طبقه بنده به روش نظارت نشده (طبقه بنده هم ارز)<sup>۱</sup> استفاده شد. اما در روش نظارت شده با استفاده از الگوریتم خداکثر درستنمایی<sup>۲</sup> و با استفاده از یک روش سلسله مراتبی، طبقه بنده تصویر صورت گرفت.

در نهایت ۴ کلاس اصلی (شامل کشاورزی، اراضی تخریب شده، کوهستان و مناطق شهری) و ۴ زیر کلاس (مخلوط باغ و کشاورزی، کشاورزی دیم، آبی و یا کشاورزی رها شده، اراضی تخریب شده فاقد پوشش گیاهی و یا دارای پوشش گیاهی پراکنده) در تصویر تفکیک شدند.

پس از تولید کلاس های مورد نظر در تصویر، جهت تشخیص هر چه بهتر پوشش گیاهی و مقایسه ای آن با کلاس کشاورزی حاصل از طبقه بنده به روش سلسله مراتبی، شاخص های گیاهی مورد مطالعه بر روی تصاویر اعمال شده و نقش شاخص های مختلف در بارزسازی تصویر مورد بررسی قرار گرفتند. ابتدا باندهای انعکاسی به همراه شاخص های آن مورد بررسی قرار گرفتند. سپس مولفه های اصلی و تبدیل تسلدکپ بر روی تصاویر اعمال و تفسیر شد. به منظور همگنی بیشتر فیلتر های  $3 \times 3$ ،  $5 \times 5$  و  $7 \times 7$  بر روی تصاویر اعمال گردید و شاخص ها و آنالیز های مختلف مورد مقایسه و بحث قرار گرفتند. برای این منظور کلیه باندهای انعکاسی تصویر ماهواره ای مولفه های گیاهی به صورت مدل در نرم افزار Idrisi<sup>+</sup> تبدیل شده و شاخص های گیاهی به صورت مدل در این نرم افزار به کار گرفته شدند. عنوانین برخی از باندهای اصلی و ترکیبی مورد استفاده در این تحقیق در جدول ۱ نشان داده شده است.

بر این اساس تمامی آنالیزهای آماری در نرم افزار JMP<sup>4</sup> انجام گردید. ۵۰ شاخص حاصل از نسبت گیری طیفی ساخته و آنالیزهای مولفه های اصلی و تبدیل تسلدکپ<sup>۳</sup> اعمال گردید. این کار برای تمامی باندهای اصلی و سه نوع فیلتر یاد شده انجام شد و ضرایب تبیین بین درصد تراکم پوشش گیاهی (متغیر وابسته) و متغیرهای مختلف تصویر (متغیر مستقل) به منظور معرفی کاراترین روش و شاخص در وضوح پدیده ها به ویژه پوشش گیاهی محاسبه گردید. در

1- Iso data

2- Maximum Likelihood

3- Tasseled cap

جدول ۱- برخی از باندهای اصلی و مصنوعی مورد استفاده

منبع	فرمول	نام اندیس
(۲۰)	TM4/TM3	Near Infrared Ratio ( NIR)
(۲۰)	TM5/TM7	Leaf Water Content( Mid- IR-Index)
(۱۳)	(TM4-TM3)/(TM4+TM3)	Normalized Difference Vegetation Index
(۲۰)	(TM5-TM3)/(TM5+TM3)	Transformed Vegetation Index
(۵)	TM4/(TM3+TM5)	Reflectance Absorption Index
(۲۰)	(TM4-(1.2×TM3)/(TM4+TM3)	Modified Normalised Difference
(۵)	TM3-TM2	PD321
(۵)	TM3-TM1	PD311
(۵)	(TM3-TM2)/(TM3+TM2)	PD322
(۵)	(TM3-TM1)/(TM3+TM1)	PD312
(۱۷)	(TM7-TM3)/(TM7+TM3)	MIRV1
(۱۳)	TM4-TM3	DVI
(۵)	(TM5-TM3)/(TM5-TM3)	MIRV2
(۱۷)	-0.29 (G) -0.56(R)+0.6(IR)+0.49(IR)	Green Vegetation Index
(۱۸)	G×(NIR-RED)/(NIR+c1×RED-c2×BLUE+L)	EVI
(۲۰)	[NIR-RED]/(NIR+RED+L)] × (1+L)	SAVI
(۱۹)	(TM3-TM4)/(TM3+TM4)	NDSI
(۱۹)	η× (1-0.25×η)-(Red-0.125) / (1-Red)	GEMI
(۱۳)	TM4/(TM1 + TM2)	Ratio-based
(۱۹)	(NIR -Red) / (NIR + Red + 0.16)	OSAVI
(۱۳)	(TM1×TM2)/TM3	Stress-related
(۱۳)	(TM4 – (TM1 + TM2) )/(TM4 + (TM1 + TM2) )	Normalized-based
(۱۴ و ۶)	حاصل از تجزیه مولفه های اصلی بر روی باندهای ۱,۲,۳	PCA1
(۱۴ و ۶)	حاصل از تجزیه مولفه های اصلی بر روی باندهای ۴,۵,۷	PCA2
(۱۴ و ۶)	حاصل از تجزیه مولفه های اصلی بر روی باندهای ۱,۲,۳,۵,۷,۴	PCA3
(۱۴ و ۶)	باند روشنایی حاصل از تبدیل تسلدکپ	Brightness
(۱۴ و ۶)	باند سبزینگ حاصل از تبدیل تسلدکپ	Greenness
(۱۴ و ۶)	باند نمکاری حاصل از تبدیل تسلدکپ	Wetness

با ارزش پیکسل های مجاور آن ها تغییر می کند و این ارزش رقومی نماینده بهتری از شرایط و خصوصیات محل نمونه برداری است و به بهبود و بارزسازی تصویر اصلی کمک نموده و به طور کلی موجب همگنی بیشتر تصاویر می شود. در این حالت شاخص های SI با  $R^2=0.42$  و BI1 و VI5 با  $R^2=0.36$  و RA و VII با  $R^2=0.32$  بالاترین ضریب تبیین را دارند.

با اعمال فیلتر میانگین  $3 \times 3$  ضرایب تبیین به طور چشمگیری افزایش یافتد. در شرایط بدون اعمال فیلتر برای هر نقطه نمونه برداری ارزش رقومی همان پیکسل که نقطه موردنظر در آن قرار دارد استخراج می گردد، در حالی که در شرایط اعمال فیلتر های میانگین علاوه بر پیکسل مذکور ارزش رقومی پیکسل های اطراف آن نیز استخراج و میانگین آن ها به عنوان شماره رقومی آن نقطه در تصاویر مورد نظر ثبت می شود و در واقع ارزش هریک از پیکسل ها در رابطه

جدول ۲- ضرایب تبیین بین باندهای اصلی و درصد تراکم پوشش گیاهی

ضریب تبیین							فیلتر میانگین
باند ۷	باند ۵	باند ۴	باند ۳	باند ۲	باند ۱		باند ۱
.۰/۱۶	.۰/۰۵	.۰/۲۴	.۰/۴۷	.۰/۴۴	.۰/۴۱	بدون فیلتر	
.۰/۱۵	.۰/۱	.۰/۲۱	.۰/۴۵	.۰/۴	.۰/۳۵	فیلتر ۳×۳	
.۰/۱۵	.۰/۱۲	.۰/۱۷	.۰/۴۴	.۰/۴۳	.۰/۳۸	فیلتر ۵×۵	
.۰/۱۷	.۰/۱۲	.۰/۱۹	.۰/۴۸	.۰/۴۳	.۰/۳۸	فیلتر ۷×۷	

جدول ۳- ضرایب تبیین بین شاخص های پوشش گیاهی و خاک و درصد تراکم پوشش گیاهی

نام شاخص	ضریب تبیین							نام شاخص				
	فیلتر ۷×۷	فیلتر ۵×۵	فیلتر ۳×۳	بدون فیلتر	نوع معادله	نام شاخص	ضریب تبیین					
Stress-Related	.۰/۰۲	.۰/۰۵	.۰/۰۴۳	.۰/۰۴۵	خطی	VII	.۰/۰۵	.۰/۲۲	.۰/۲۶	.۰/۰۵	خطی	
Normalized-Based	.۰/۰۴	.۰/۰۵۱	.۰/۰۵	.۰/۰۶	درجه ۲		.۰/۲۶	.۰/۲۴	.۰/۲۷	.۰/۰۶	درجه ۲	
IPVI	.۰/۰۲	.۰/۰۱	.۰/۰۲	.۰/۰۴۵	خطی	VI3	.۰/۱۷	.۰/۱۹	.۰/۱۶	.۰/۰۴۴	خطی	
OSAVI	.۰/۰۲۳	.۰/۰۱۱	.۰/۰۲۲	.۰/۰۶	درجه ۲		.۰/۲۵	.۰/۲۳	.۰/۲۷	.۰/۰۶	درجه ۲	
G2	.۰/۰۴	.۰/۰۷	.۰/۰۶۲	.۰/۰۴۵	خطی	VI4	.۰/۳۶	.۰/۳	.۰/۲۷	.۰/۰۴۳	خطی	
BI1	.۰/۰۸	.۰/۰۹	.۰/۰۸۴	.۰/۰۶	درجه ۲		.۰/۳۸	.۰/۳۶	.۰/۳۳	.۰/۰۶	درجه ۲	
BI2	.۰/۰۴	.۰/۰۴	.۰/۰۴۶	.۰/۰۴۶	خطی	VI5	.۰/۳۷	.۰/۳	.۰/۲۷	.۰/۰۴۵	خطی	
RI	.۰/۰۴	.۰/۴۵	.۰/۴۱	.۰/۰۶۱	درجه ۲		.۰/۳۸	.۰/۳۴	.۰/۲۲	.۰/۰۶۲	درجه ۲	
MSAVI	.۰/۰۲	.۰/۳۵	.۰/۳۴	.۰/۰۴۵	خطی	VI6	.۰/۳۴	.۰/۳۲	.۰/۲۷	.۰/۰۴۵	خطی	
GEMI	.۰/۰۶	.۰/۰۴۴	.۰/۰۳۸	.۰/۰۶۱	درجه ۲		.۰/۳۹	.۰/۳۵	.۰/۳۳	.۰/۰۶	درجه ۲	
VII	.۰/۰۱۴	.۰/۰۱	.۰/۰۰۵	.۰/۰۴۴	خطی	VI7	.۰/۲۹	.۰/۴۴	.۰/۴	.۰/۰۴۶	خطی	
SI	.۰/۰۴	.۰/۰۴	.۰/۰۳	.۰/۰۵۹	درجه ۲		.۰/۴۴	.۰/۴۵	.۰/۴۱	.۰/۰۶	درجه ۲	
MSR	.۰/۰۴	.۰/۰۹	.۰/۰۷	.۰/۰۴۵	خطی	RVI	.۰/۲۴	.۰/۲۳	.۰/۲	.۰/۰۴۵	خطی	
MSAVI	.۰/۱۲	.۰/۱۲	.۰/۱	.۰/۰۵۹	درجه ۲		.۰/۲۵	.۰/۲۴	.۰/۲۱	.۰/۰۵۹	درجه ۲	
MSAVI	.۰/۰۰۸	.۰/۰۰۱	.۰/۰۰۵	.۰/۰۴۶	خطی	VI9	.۰/۴۴	.۰/۴۳	.۰/۴۲	.۰/۰۴۵	خطی	
MSAVI	.۰/۰۱	.۰/۰۰۳	.۰/۰۱	.۰/۰۶	درجه ۲		.۰/۴۵	.۰/۴۵	.۰/۴۴	.۰/۰۵۹	درجه ۲	
MSAVI	.۰/۰۳۳	.۰/۲۵	.۰/۳	.۰/۰۴۵	خطی		.۰/۱	.۰/۲۸	.۰/۲۶	.۰/۰۴۵	خطی	
MSAVI	.۰/۰۳۸	.۰/۲۶	.۰/۲۲	.۰/۰۶	درجه ۲		.۰/۴۴	.۰/۴۴	.۰/۴۱	.۰/۰۵۹	درجه ۲	
MSAVI	.۰/۰۳۲	.۰/۳۱	.۰/۲۸	.۰/۰۳۹	خطی		.۰/۳۱	.۰/۳	.۰/۲۶	.۰/۰۴۶	خطی	
MSAVI	.۰/۰۳۸	.۰/۲۵	.۰/۲۲	.۰/۰۶۶	درجه ۲		.۰/۴	.۰/۳۵	.۰/۳۳	.۰/۰۶	درجه ۲	
GEMI	.۰/۱۷	.۰/۲	.۰/۱۵	.۰/۰۵۳	خطی	MSI	.۰/۳۴	.۰/۱۹	.۰/۱۶	.۰/۰۴۶	خطی	
GEMI	.۰/۰۲۵	.۰/۲۱	.۰/۱۶	.۰/۰۵۸	درجه ۲		.۰/۴۱	.۰/۲۶	.۰/۲	.۰/۰۶	درجه ۲	
MIR	.۰/۰۶	.۰/۰۳۱	.۰/۰۳۳	.۰/۰۵۴	خطی		.۰/۱	.۰/۳۴	.۰/۳۳	.۰/۰۴۵	خطی	
VII	.۰/۱	.۰/۰۳۴	.۰/۰۴۷	.۰/۰۵۸	درجه ۲		.۰/۳۷	.۰/۳۸	.۰/۳۶	.۰/۰۵۹	درجه ۲	

## ادامه جدول ۳- ضرایب تبیین بین شاخص‌های پوشش گیاهی و خاک و درصد تراکم گیاهی

نام شاخص	نوع معادله	بدون فیلتر	ضریب تبیین	نام شاخص	نوع معادله	بدون فیلتر	ضریب تبیین
۷×۷	۵×۵	۳×۳	بدون فیلتر	نام شاخص	نوع معادله	بدون فیلتر	ضریب تبیین
۰/۰۰۸	۰/۰۰۲	۰/۰۰۶	۰/۰۵	خطی	MIRV1	۰/۱۶	۰/۱۵
۰/۱۱	۰/۰۰۴	۰/۰۰۲	۰/۰۶	درجه ۲		۰/۱۶	۰/۱۵
۰/۱	۰/۱	۰/۰۶	۰/۰۵	خطی	MIRV2	۰/۱۲	۰/۲۳
۰/۱۲	۰/۱۴	۰/۰۹	۰/۰۶	درجه ۲		۰/۳	۰/۲۶
۰/۴	۰/۳۲	۰/۳	۰/۰۴	خطی	DVI	۰/۳۱	۰/۳
۰/۴۱	۰/۳۷	۰/۳۴	۰/۰۷	درجه ۲		۰/۳۸	۰/۳۴
۰/۲۱	۰/۲۲	۰/۱۸	۰/۱	خطی	Complex Division2	۰/۳۲	۰/۳
۰/۲۱	۰/۲۴	۰/۲	۰/۱۱	درجه ۲		۰/۴۱	۰/۳۶
۰/۳۴	۰/۳۴	۰/۳۲	۰/۰۳۵	خطی	Complex Division1	۰/۱۷	۰/۱۸
۰/۳۶	۰/۳۶	۰/۳۴	۰/۰۷۵	درجه ۲		۰/۲۴	۰/۲
۰/۳۲	۰/۳۱	۰/۲۶	۰/۰۴	خطی	Complex Multirato	۰/۱۱	۰/۱
۰/۴۱	۰/۳۷	۰/۳۵	۰/۰۶۴	درجه ۲		۰/۱۵	۰/۱۱
۰/۲۲	۰/۲۱	۰/۱۸	۰/۰۴	خطی	GVI	۰/۲۸	۰/۲۷
۰/۲۶	۰/۲۲	۰/۲	۰/۰۶۶	درجه ۲		۰/۳۳	۰/۳۱
۰/۳۱	۰/۳	۰/۲۸	۰/۰۳۶	خطی	NDSI	۰/۳۳	۰/۳۱
۰/۳۷	۰/۳۴	۰/۳۳	۰/۰۶۵	درجه ۲		۰/۴	۰/۳۶
۰/۳۱	۰/۲۷	۰/۲۳	۰/۰۳۵	خطی	EVI	۰/۰۱	۰/۲
۰/۳۶	۰/۳۳	۰/۳	۰/۰۸	درجه ۲		۰/۰۲	۰/۲۴
۰/۳۱	۰/۳	۰/۲۷	۰/۰۴	خطی	SAVI	۰/۱۸	۰/۲۲
۰/۳۸	۰/۳۵	۰/۳۲	۰/۰۷	درجه ۲	Ratio-Based	۰/۲۲	۰/۲۴
۰/۱۷	۰/۲	۰/۱۶	۰/۰۳۳	خطی	COSRI	۰/۰۰۲	۰/۰۸
۰/۲۴	۰/۲۱	۰/۱۷	۰/۰۷۲	درجه ۲		۰/۰۷	۰/۱
۰/۳۴	۰/۳۳	۰/۲۶	۰/۰۴	خطی	RATIO	۰/۰۷	۰/۱۲
۰/۴۱	۰/۳۶	۰/۳۲	۰/۰۶۲	درجه ۲		۰/۱۲	۰/۱۷
۰/۳۱	۰/۳	۰/۲۶	۰/۰۴	خطی		۰/۱۱	۰/۱
۰/۳۹	۰/۳۶	۰/۳۳	۰/۰۷	درجه ۲		۰/۱۲	۰/۱۲
						۰/۰۹	۰/۰۶
						۰/۰۶	۰/۰۶

برخی از شاخص‌ها افزایش ناچیزی داشتند اما اغلب شاخص‌ها  $R^2$  آن‌ها کاهش یافت و یا تغییری نکرد اما میزان  $R^2$  در این فیلتر در تمام این شاخص‌ها با افزایش درجه معادله ضریب تبیین به میزان قابل توجهی فزونی یافت. به طور کلی در چهار حالت فوق معادلات درجه دو همه‌ی نسبت‌های باندی مورد مطالعه نسبت به معادلات خطی از روندی افزایشی برخوردار بودند. علاوه بر شاخص‌های ذکر شده تصاویر ماهواره‌ای مورد تجزیه و تحلیل آنالیزهای ارزشی و تبدیل تسلیک قرار گرفتند. پس از اعمال این آنالیزها ارزش رقومی تصاویر حاصل استخراج گردید و رابطه رگرسیونی این ارزش‌ها با داده‌های زمینی تراکم پوشش گیاهی مورد بررسی قرار گرفت (جدول ۴).

بر این اساس PCA1 با  $R^2=0/۳۴$  بیشترین ضریب تبیین را با پوشش منطقه مورد مطالعه نشان داد و پس از آن PCA3 و باندهای

پس از اعمال فیلتر میانگین  $5\times 5$  روند افزایش ضرایب تکرار شد هرچند این تغییر به صورت معنی داری نبود. شاخص‌های MND<sup>۱</sup>, NDSI<sup>۲</sup>, TVI<sup>۳</sup>, NDVI<sup>۴</sup>, SI<sup>۵</sup>, BI1<sup>۶</sup>, RI<sup>۷</sup>, VII<sup>۸</sup>, VI5<sup>۹</sup>, VI6<sup>۱۰</sup>, MSAVI<sup>۱۱</sup>, SAVI<sup>۱۲</sup>, Complex<sup>۱۳</sup>, Division1<sup>۱۴</sup>, COSRI<sup>۱۵</sup>, RATIO<sup>۱۶</sup>, DVI<sup>۱۷</sup>, Multirato<sup>۱۸</sup> و PD311<sup>۱۹</sup>, PD322<sup>۲۰</sup>, PD312<sup>۲۱</sup>, MINI<sup>۲۲</sup> شاخص‌ها افزایش چشمگیری داشتند. با اعمال فیلتر میانگین  $7\times 7$

1- Transformed Vegetation Index

2- Vegetation Index

3- Modified Normalised Difference

4- Modified Soil Adjusted Vegetation Index

5- Difference Vegetation Index

6- Combined Spectral Response Index

مقادیر نزدیک به +۱ نشان دهنده پوشش انبوه گیاهی است. سایر شاخص های حاصله با بالاترین ضریب تبیین نیز از شاخص های مناسب برای تبیین پوشش گیاهی منطقه مورد مطالعه می باشدند (۲۱). نتایج فرناندز و همکاران نشان داد که COSRI یک شاخص ترکیبی است که در ساختار فرمولی آن شاخص NDVI بکار رفته و برای مطالعه تغییرات خاک های بایر و پاسخ های طیفی پوشش گیاهی می تواند استفاده شود (۱۲). شاخص BI برای بررسی پوشش گیاهی مناطق خشک که به ندرت گیاهان سبز را در برمی گیرند نسبت به سایر شاخص های کلاسیک از کارایی بالاتری برخوردار بود و از این رو برای پایش پوشش منطقه مناسب ارزیابی گردید که مشابه نتایج اسکادافال و همکاران است (۱۱). همچنین آنالیزهای PCA و شاخص های گیاهی در بررسی و پایش تغییرات پوشش گیاهی اراضی کشاورزی تحت تأثیر نمک نتایج مطلوبی نشان دادند که با نتایج دیدوی و همکاران مطابقت دارد (۱۰).

شاخص های IPVI، MSR، RVI، NDSI، RI، MSVI و انواع ترکیبی Complex Multirato، MND، TVI، SI، OSAVI شاخص VI شناسایی نواحی با پوشش گیاهی را با کاهش اثر خاک زمینه سبب می گردند (۱۹). شاخص های RATIO، DVI، Complex Division1 همچون NDVI در پوشش گیاهی متراکم تر عملکرد بهتری دارند. همچنین شاخص<sup>۱</sup> GEMI به منظور کاهش اثرات اتمسفری شاخص NDVI به عنوان شاخصی مناسب در بهبود تفکیک نواحی تحت تأثیر پوشش گیاهی با فرمولی بسیار پیچیده ایجاد گردید. از طرفی برای بررسی پوشش جنگلی شاخص های<sup>۲</sup> G2 و VI<sup>۳</sup> از قابلیت بالاتری برخوردارند که مشابه نتایج

نیکولاکاپوس می باشد (۱۹). شاخص های<sup>۴</sup> MIRV<sup>۳</sup>، EVI<sup>۳</sup> و MINI<sup>۱</sup> با کاهش اثرات اتمسفری در مناطق با میزان بیومس بالا شاخص هایی مطلوب محسوب می گردند (۱۷).

به منظور ارزیابی متراکم پوشش گیاهی و میزان رشد گیاهان سبز شاخص SAVI معرفی گردید که در پایش پوشش مناطق خشک به دلیل کاهش اثرات کانی های مختلف مناسب می باشد که مشابه نتایج هوت و بیانتیو است (۸ و ۱۵). همچنین شاخص های<sup>۱</sup> Stress-Ratio-، Complex Division<sup>۱</sup>، Normalized-Based<sup>۱</sup>، Related Based<sup>۱</sup> و MIR<sup>۵</sup> در مطالعه نواحی با پوشش درختی نتایج بهتری ارائه می دهند (۱۳). شاخص های NDVI<sup>۱</sup> و PVI<sup>۱</sup> و SAVI<sup>۱</sup> و EVI<sup>۱</sup> و

روشنایی و سبزینگی دارای بالاترین ضریب تبیین بودند. ارزش رقومی تصاویر ماهواره ای به عنوان داده های مستقل با اعمال آنالیز های مختلف و باندهای ترکیبی به میزان قابل توجهی افزایش یافت. این موضوع نشان می دهد که استفاده از این آنالیزها علاوه بر افزایش ضریب تبیین نسبت به باندهای اصلی دروضوح بهتر پدیده ها و طبقه بندهی کاربری های مختلف منطقه کمک شایانی می کند.

**جدول ۴- ضرایب تبیین بین ارزش رقومی تصاویر حاصل از اعمال آنالیزهای PCA و تسلدکپ و درصد متراکم پوشش گیاهی**

نام آنالیز	نوع معادله	ضریب تبیین	مؤلفه اصلی
.۰/۳۴	خطی	درجه ۲	مؤلفه اصلی ۱
.۰/۳۶	خطی	درجه ۲	مؤلفه اصلی ۲
.۰/۱۵	خطی	درجه ۲	مؤلفه اصلی ۳
.۰/۱۷	خطی	درجه ۲	مؤلفه روشنایی
.۰/۳	خطی	درجه ۲	مؤلفه سبزینگی
.۰/۳۱	خطی	درجه ۲	مؤلفه نمناکی
.۰/۳۱	خطی	درجه ۲	
.۰/۳۲	خطی	درجه ۲	
.۰/۱۱	خطی	درجه ۲	
.۰/۱۳	خطی	درجه ۲	

نتایج حاصل از روش های به کارگرفته شده، نشان داد که برخی از شاخص ها و آنالیز های اعمال شده بر روی تصاویر در منطقه مورد مطالعه دروضوح پدیده های مختلف به ویژه پوشش گیاهی نقش قابل توجهی ایفا می کنند. در این میان شاخص های VI5، MSR، MND، SAVI، NDSI، TVI، NDVI، SI، BI1، RI، VII، VI6، Complex Multirato، MSAVI، COSRI و نیز مؤلفه های اول و سوم حاصل از تجزیه مؤلفه های اصلی و باندهای روشنایی و سبزینگی حاصل از تبدیل تسلدکپ امکان تشخیص و تفکیک پوشش گیاهی منطقه را بیش از سایر شاخص ها فراهم می نماید هیستوگرام کلیه شاخص های مورد استفاده از نظر آماره های مختلف از قبیل توزیع آماری متغیرها، انحراف معیار و میانگین مورد بررسی قرار گرفتند. سپس شاخص های حاصله به منظور بررسی پتانسیل و امکان طبقه بندهی پوشش گیاهی با کلاس های تولید شده از روش های مختلف طبقه بندهی مقایسه شدند.

نتایج حاصله نشان داد که شاخص NDVI به عنوان یکی از پرکاربردترین شاخص های پوشش گیاهی می تواند مناطقی را که دارای پوشش انبوه تری هستند، بهتر تفکیک کند. این شاخص در

1- Global Environment Monitoring Index

2- Vegetation Index

3- Vegetation Index

4- Green Vegetation Index

5- Leaf Water Content

منظور چگونگی اجرای روش‌های مدیریتی بهینه و دستیابی به نتایج مطلوب در اختیار قرار می‌دهند. نتایج حاصله نشان داد که در موقعیت‌های مختلف هرکدام از شاخص‌های مورد مطالعه برای هر تصویر دارای معایب و مزایای خاص هستند. بنابراین در انتخاب مناسب‌ترین روش نوع سنجنده، خصوصیات و شرایط منطقه مورد مطالعه و آگاهی از نوع و میزان پوشش گیاهی و نوع کاربری‌های منطقه باید مورد توجه قرار گیرد. براساس نتایج حاصل کاربرد منطقه‌ای بازدید ممکن است این روش را بهترین روش برای ارزیابی شاخص‌های بازدید اطلاعات مطالعه‌ی تک بازدیدها در اختیار قرار می‌دهد. همچنین برای این مناطق کاربرد همزمان چندین شاخص نتایج بهتری در تشخیص و تفکیک میزان پوشش گیاهی ارائه می‌دهند. با این حال انتخاب مناسب‌ترین روش باید با دقت بالا و با توجه به خصوصیات منطقه بر اساس بالاترین میزان همبستگی صورت پذیرد تا بتوان با استفاده از کاراترین شاخص‌های و آنالیزهای به دست آمده و ارائه مدل‌های مناسب به پایش و مطالعه پوشش گیاهی منطقه مطالعه و مناطق با خصوصیات مشابه پرداخت.

### تشکر و قدردانی

بدین وسیله از معاونت پژوهشی دانشگاه فردوسی مشهد، واحد سنجش از دور دانشگاه فردوسی مشهد و همکاری صمیمانه آقای دکتر مهدی نصیری محلاتی در دانشکده کشاورزی دانشگاه فردوسی مشهد، آقای مهندس احمد طالب زاده در سازمان فضایی ایران تشکر و قدردانی می‌گردد.

برای تعییر پذیری پوشش گیاهی جنگلی و اثرات توپوگرافی در چین مورد بررسی قرار گرفتند. در این میان شاخص EVI تفاوت‌های توپوگرافی را در این مناطق بهتر آشکار می‌ساخت (۱۸ و ۲۰). با مقایسه تصاویر حاصل از اعمال این شاخص‌ها و آنالیز مولفه‌های اصلی و بازدهای روشنایی و سبزینگی با ترکیب رنگی کاذب (۲، ۳ و ۴) مشخص شد که کارایی این شاخص‌ها در تعیین پوشش گیاهی مناطق دارای پوشش گیاهی بیش از سایرین است. علت این امر به دلیل وجود بازدید مادون قرمز در فرمول این شاخص‌ها می‌باشد. زیرا گیاهان سبز دارای بیشترین انعکاس در این محدوده طیفی می‌باشند (۱۵). به طور کلی شاخص‌های مختلف دارای مزایا و محدودیت‌هایی در مناطق مختلف هستند با این حال شاخص گیاهی مطلوب باید بیشترین حساسیت را به پوشش گیاهی داشته باشد نه نسبت به خاک. بنابراین آنالیزهای شاخص‌هایی که به عنوان شخص‌های مطلوب در آشکارسازی پوشش گیاهی معرفی شده اند ممکن است در شرایط محیطی دیگر دارای این قابلیت نباشند. تمام شاخص‌های مورد مطالعه دارای قابلیت آشکارسازی و واضح پدیده‌ها هستند. با این وجود لازم است این موضوع در شرایط محیطی متفاوت مورد آزمون قرار گیرد.

### نتیجه گیری

پایش و مطالعه پوشش گیاهی مناطق خشک و نیمه خشک به خاطر شرایط خاص آب و هوایی جهت اعمال روش‌های صحیح مدیریت خاک‌ها و اراضی از اهمیت خاصی برخوردار است. از این رو استفاده از تصاویر ماهواره‌ای در این خصوص اطلاعات دقیقی را با صرف هزینه و زمان کمتر در مقیاس‌های منطقه‌ای و ناحیه‌ای به

### منابع

- ۱- درویش صفت، ع.ا، م. ح. دماوندی، م. عجفری، و غ. ر. ز. هتابیان. ۱۳۷۹. بررسی امکان طبقه‌بندی اراضی شور با استفاده از داده‌های رقومی ماهواره‌لنست - TM. مجله بیابان، جلد ۵، شماره ۲.
- ۲- سپهری، ع. و. و. ر. متقی. ۱۳۸۱. کاربرد شاخص‌های گیاهی سنجنده TM در برآورد درصد پوشش گیاهی سنجنده. گرگان، مجله منابع طبیعی ایران، ج ۵۵، ش ۲.
- ۳- طاهرکیا، ح. ۱۳۷۵. اصول و کاربرد سنجش از دور. انتشارات جهاد دانشگاهی دانشگاه تهران.
- 4- Adamchuk, V.I., R.L. Perk, and J.S. Schepers. 2003. Application of remote sensing in sitespecific management. Precision Agriculture Extension Circular EC 03-702. Lincoln, Nebraska: University of Nebraska Cooperative Extension.
- 5- Arzani, H., and G.W. King. 2008. Application of remote sensing (landsat TM data) for vegetation parameters measurement in western division of NSW. *International Grassland Congress*. Hohhot, China. ID NO. 1083.
- 6- Bahtti, A.U., D.J., Mulla, and B.E. Frazier. 1991. Estimation of soil properties and wheat yields on complex eroded hills using geostatistics and thematic mapper images. *Remote Sens. Environment*, 31: 181- 191.
- 7- Boyd, D.S., G.M., Foody, P.J., Curran, R.M., Lucas, and M. Honzak. 1996. An assessment of radiance in Landsat TM middle and thermal infrared wavebands for the detection of tropical forest regeneration. *International Journal*

- of Remote Sensing ,17: 249–261.
- 8- Buyantuyev, A. 2007. SAVI (Soil Adjusted Vegetation Index) of the 2005 Landsat Thematic Mapper Image. [http://seinet.asu.edu/DataCatalog/wholeRecord.jspid=370&source=ces\\_dataset](http://seinet.asu.edu/DataCatalog/wholeRecord.jspid=370&source=ces_dataset).
  - 9- Dabney, S., J., Delgado and D. Reeves. 2001. Using winter crops to improve soil and water quality. Communication in Soil Science Plant Annals. 32(7–8): 1221-1250.
  - 10- Dwivedi, R.S., and K. Sreenivas. 1998. Delineation of salt-acted soils and waterlogged areas in the Indo-Gangetic plains using IRS-1C LISS-III data. International Journal of Remote Sensing. 19(14): 2739 – 2751.
  - 11- Escadafal, R., F., Albinet, and V. Simonneaux. 2005. Arid land cover change trend analysis with series of satellite images for desertification monitoring in Northern Africa. *Proceedings of the remote sensing and geoinformation processing in the assessment and monitoring of land degradation and desertification congress*. September 7-9, Trier, Germany.
  - 12- Fernandez Buces, N., Siebe, C. Cram,S. and Palacio, J. L. 2006. Mapping soil salinity using a combined spectral response index for bare soil and vegetation: A case study in the former lake Texcoco, Mexico, Journal of Arid Environments. 65: 644–667.
  - 13- Foody, G.M., M., Cutler, J., Memorow, D., Pelz, H., Tangki, D.S., Boyd, and I. Douglas. 2001. Mapping the biomass of Bornean tropical rain forest from remotely sensed data. Journal of Global Ecology and Biogeography. 10: 379–387.
  - 14- Frazier, B.E., and Y. Cheng. 1989. Remote sensing of soils in eastern Palouse region with landsat thematic mapper, Remote Sense. Environment 28:317- 325.
  - 15- Huete, A.R. 1996. Extension of soil spectra to the satellite: atmosphere, geometric and sensor considerations. Photointerpretation, 34: 101–114.
  - 16- Khan, N.M., V.V., Rastoskuev, E.V., Shalina, and Y. Sato. 2001. mapping salt-affected soils using remote sensing indicatores a sample approach with the use of GIS IDRISI, paper presented at *the 22nd asian conference on remote sensing*, Singapore.
  - 17- Leblon, B. 1993. Soil and vegetation optical properties. Applications in Remote Sensing, Vol(4).
  - 18- Matsushita, B., Y., Wei, C., Jin, O., Yuyichi, and Q. Guoyn. 2007. Sensitivity of the Enhanced Vegetation Index (EVI) and Normalized Difference Vegetation Index (NDVI) to topographic effects: A case study in high-density Cypress forest. Sensors, 7: 2636-2651.
  - 19- Nikolakopoulos, K.G. 2003. Use of Vegetation Indexes with aster viner Data for Burnt Areas Detection in Western Peloponnese, Greece, Remote Sensing Laboratory, Panepistimiopolis, Athens 157 84, Greece.
  - 20- Pettorelli, N., J.O., Vik, A., Mysterud, J. M., C.J. Gaillard Tucker and N.C. Stenseth 2005. Using the satellite – derived NDVI to assess ecological responses to environmental change. Journal of Trends in Ecology and Evolution. 9(20): 503-510.
  - 21- Ray, S.S., J.P., Singh, G., Dasa, and S. Panigrahy. 2004. Use of high resolution remote sensing data for generating sitespecific soil mangement plan. *Proceeding of The 4<sup>th</sup> International Society for Photogrammetry and Remote sensing congress*. July 12-23, Istanbul, Turkey
  - 22- Sanchez, N., R., Gonzalez, J., Prado, J., Martinez-Fernandez, and C. Perez-Gutierrez. 2006. Estimating vegetation parameters of cereals using an Aster 1A image, Commission VII, WGVI/1, Spain.
  - 23- Saxsena, R.K., K.S., Verma, Rajeev Srivastava, Janardan Yadav, N.K. Patel., R.A., Nasre A.K., Barthwal A.A., Shiwalkar and S. L. Londhe. 2003. Spectral reflectance properties of some dominant soils occurring on different altitudinal zones in Uttarakhand Himalayas. Agropedology. 13(2): 35-43.
  - 24- Williams, D.L. 1991, A comparison of spectral reflectance properties at the needle bruch and canopy level for selected conifer species. Remote sensing of Environment Journal. 35: 79-93.
  - 25- Yuan, J., and L. Long. 1995. Study on Forest Vegetation Classification with Remote Sensing. Hebei Normal University, Shijiazhuang, China.